

새로운 개념의 고압 발전기 설계 및 특성분석

김창화\* · 황돈하\* · 박도영\* · 김용주\* · 권영안\* · 류동근\*  
 \*한국전기연구소 메카트로닉스연구그룹, \*부산대학교, \*일진중공업

The New High Voltage Generator's Design and Performance Analysis

C.H. Kim\* · D.H. Hwang\* · D.Y. Park\* · Y.J. Kim\* · Y.A. Kwon\* · D.G. Ryu\*  
 \*Mechatronics Research Group, KERI, \*Pusan National University, \*Iljin Heavy Industries Co. Ltd

**Abstract** - A new high voltage generator is designed and basic performance analysis by 2D-FEA is performed. The new generator is able to supply electricity directly to the high voltage grid without the need for a step-up transformer.

For the 2D-FEA analysis, the generator model is coupled to external circuit components with inductance and end-winding resistance.

1. 서론

세계적인 발전기 제작 업체들은 발전기에 대한 연구 개발을 실시하여 발전기 설계 및 해석에 필요한 전반적인 기술을 확보하고 있으며, 세계 시장에서의 주도권을 유지하기 위하여 지속적인 연구개발을 수행하고 있다.

스웨덴의 ABB에서 발전기와 승압변압기를 결합하여 고가의 승압변압기를 사용하지 않아도 되는 Powerformer™라는 획기적인 발전기를 개발하여 Porjus Hydro Power Center에 설치하여 시험을 실시하고 있다. Powerformer™ 발전기는 고정자 권선으로 고압 Cable을 사용함으로써 기존의 발전기에 비해 출력전압이 매우 높기 때문에 발전기 출력단에서 승압변압기를 거치지 않고 직접 송전계통에 접속이 가능한 시스템이다.

본 연구에서는 3상 6극 1650[V] 100[kW]급의 고압 동기 발전기를 설계 및 제작하였고, 발전기의 전반적인 특성 분석을 위해 2차원 전자기 해석을 통한 특성 시험 결과를 제시한다.

2. 새로운 개념의 고압 발전기 설계 및 해석

2.1 개발된 고압 발전기의 특징

그림 1은 Powerformer™ 발전기와 기존의 발전기 시스템의 차이점을 나타낸 것이다.

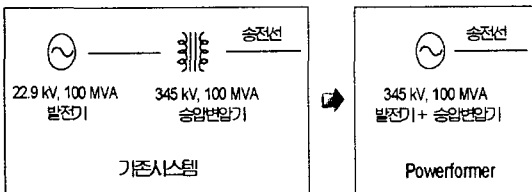


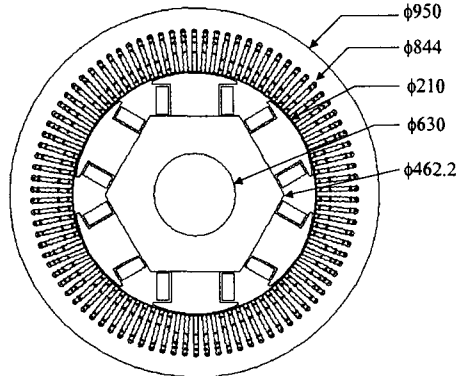
그림 1. Powerformer 발전기와 기존 시스템의 비교

기존의 발전기는 발전기의 출력단이 승압변압기를 거쳐서 송전계통에 접속되는 시스템이지만, 본 연구에서 설계한 고압 발전기는 발전기의 출력단에서 승압변압기를 거치지 않고 직접 송전계통에 접속이 가능한 시스템이다. 이 발전기는 기존의 발전기와는 출발 개념부터가

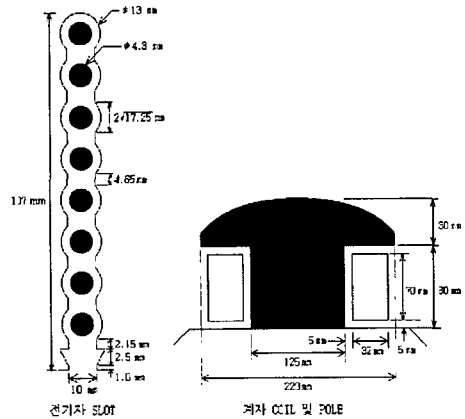
다른 혁신적인 제품으로서 고정자 권선으로 고압 Cable을 사용한다는 것이 가장 큰 특징이다. 그리고 승압변압기를 사용하지 않으므로 승압변압기에서의 무효전력 손실이 없어지고, 동일한 출력에서 전류를 최소화시킬 수 있다.

2.2 고압 발전기의 구조 및 제원

본 논문에서 해석한 Model의 사양은 3상 6극 정격 용량 100[KW], 정격전압 1650[V], 정격 회전속도 1200[RPM]의 고압 발전기이며, 설계 model 치수는 표 1과 같고, 단면 구조는 그림 2에 나타나 있다.



(a) 단면 구조



(b) 전기자 slot 및 계자 pole 상세도

그림 2. 100 kW 고압 발전기 단면구조

표 1. 고압 발전기 설계 model의 치수

구분	원	치수
고정자	외경(D <sub>o</sub> )	950 [mm]
	내경(D <sub>i</sub> )	630 [mm]
고정자 slot	깊이(L <sub>i</sub> )	107 [mm]
	폭(W <sub>s</sub> )	13 [mm]
공극	최소(g <sub>min</sub> )	4 [mm]
	최대(g <sub>max</sub> )	7.02 [mm]
고정자 상당 Turn 수(N <sub>eh</sub> )		60 [Turn]
고정자 길이(L)		440 [mm]
고정자 slot 수(N <sub>s</sub> )		90 [개]
계자 Coil Turn 수(N <sub>f</sub> )		200 [Turn]

### 3. 고압 발전기의 전자기 해석

#### 3.1 2차원 유한 요소 해석

전자계 해석용 프로그램인 Flux2D를 사용하여 정상 상태 전자계 해석을 수행하였다. 해석 model의 입력 형상은 극의 대칭성을 고려하여 전체 형상의 1/6 만 modeling하였다. 전기자 부분은 자성체인 전기자와 고정자 cable인 전기자 권선으로 구성되어 있고, 회전자부는 계자극(pole) 및 spider, 계자 권선으로 구성되어 있다.

과도 상태 해석을 위해 회전 공극(moving airgap) 기법을 적용하여 이중 공극을 설정하였다. 그림 3은 전기자에 사용된 자성체 재료의 B-H curve 특성을 나타낸 것이고, Pole 및 Rotor는 냉간 압연 강판이 사용되었다. 그림 4는 입력형상의 유한요소 분할도를 나타내고 있다.

2.151M  
1.77E-01

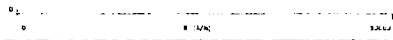


그림 3. 입력 자성체의 재료 특성

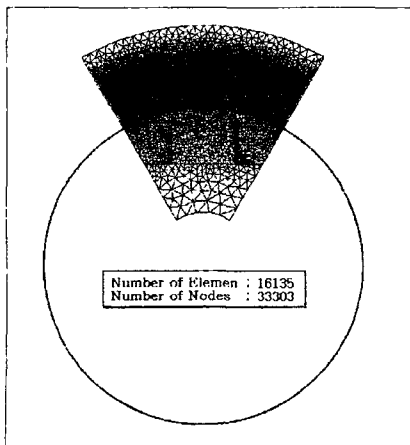


그림 4. 유한요소 분할도

그림 4에 나타난 유한 요소의 개수는 16,135 개, 절점의 개수는 33,303 개를 가진 2차 삼각요소를 이용하여 해석하였다. 경계조건은 고정경계조건과 반주기경계조건을 적용하였다.

#### 3.2 외부회로의 구성

유한 요소 해석 영역과 결합하기 위하여 회전자, 고정자를 각각의 회로소자로 표현한 외부회로(external circuit)를 구성하여 그림 5에 나타내었다. 외부회로에서 회전자는 계자 전류원과 계자 권선으로 구성하였고, 고정자는 각 상의 전기자 권선 직선부의 저항을 고려하기 위한 권선과 전기자 권선 단위 저항 및 전기자 권선 단위 리액턴스로 구성된 3상 Y 결선으로 되어있다.

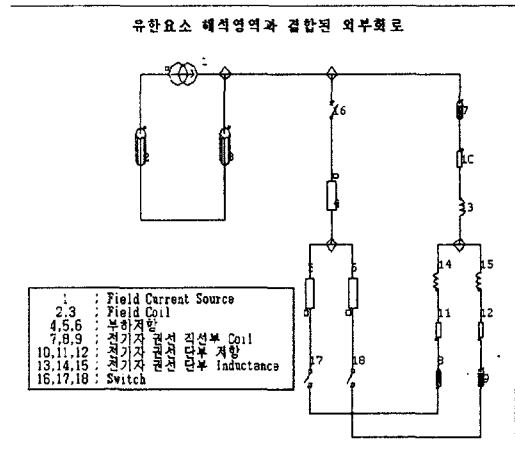
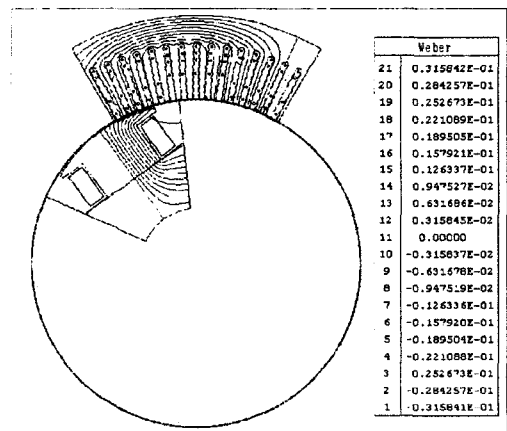


그림 5. 유한요소 해석 영역과 결합된 외부회로

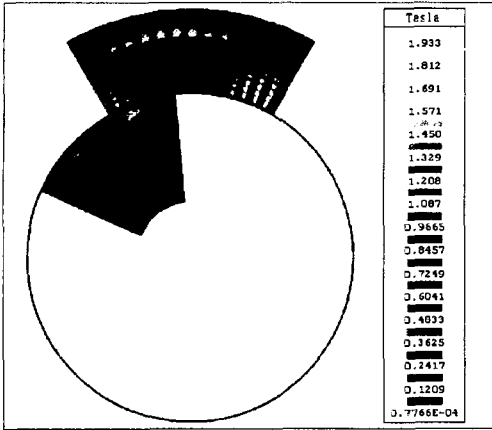
#### 3.3 무부하시 자속 분포 및 전압파형

##### 3.3.1 무부하시 자속 분포

계자권선에 무부하시 계자전류 17.7[A]를 인가하여 유한요소 해석을 수행하였다. 그림 6은 회전자가 약 47 회전(약 2.355(sec))한 후의 등자속선 분포와 자속밀도 분포를 나타내고 있다.



(a) 등자속선 분포(약 2.355(sec))



(b) 자속밀도 분포(약 2.355[sec])

그림 6. 무부하시 등자속선과 자속밀도 분포

그림 7은 공극의 중간 부분(R=313[mm])에서 구해진 자속밀도 파형을 나타낸 것이다. 전기자 slot 부분에 자속이 거의 통과하지 않으므로 자속밀도 파형이 완전한 정현파가 되지 않음을 볼 수 있다.

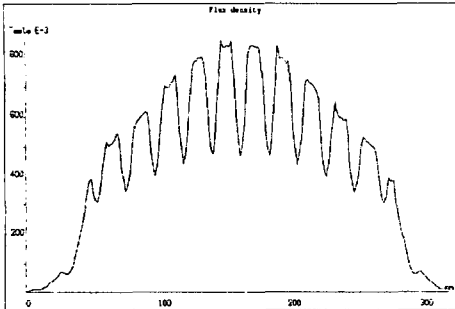


그림 7. 자속밀도 분포(R=313[mm])

### 3.3.2 무부하시 전압파형

그림 8은 3상 무부하시 계자에 정격 전류를 인가하여 해석한 결과로서 전기자 단자에 나타난 선간전압 파형을 나타낸 것이다. 선간전압의 최대값은 약 2,343[V], RMS 값은 1,656[V]로 나타났고, 각 상의 단자전압은 120(DEG)의 위상차가 나타남을 확인하였다.

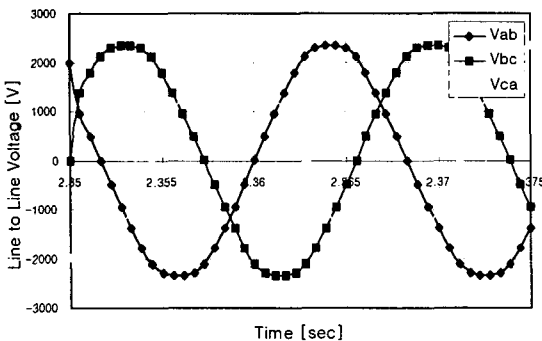


그림 8. 무부하시 전기자 단자전압

## 4. 결 론

본 연구에서는 3상 4극 100[kW] 고압 발전기의 무부하시 정상상태 전자계 해석을 통해 발전기 내부의 자속 및 자속밀도 분포를 확인하였다. 무부하 계자전류 17.7[A]를 인가하여 2차원 유한요소 해석기법으로 구한 무부하 단자전압 1,656[V]는 설계시 정격 출력전압 1,650[V]와 매우 근사하게 계산되었다.

향후 발전기의 전체적인 특성파악을 위하여 전기자 및 계자 권선의 end turn 저항과 리액턴스를 고려하여 외부회로를 연결한 상태에서 개방회로 및 단락회로 특성 시험을 수행하여 전자계 해석 및 실험 결과를 비교 분석하여 발전기의 전체적인 동작 특성을 파악하기 위한 연구를 수행하고자 한다. 또한 과도 상태의 전자계 해석을 수행할 예정이다.

### (참 고 문 헌)

- [1] S. Lindahl, C. Parkegren, "Development and Commissioning of Powerformer-A High-Voltage Synchronous Machine". Double Conference, April 1999, Boston, USA
- [2] M. Leijon, "Powerformer-a radically new rotating machine", ABB Review, 2/1998, pp.21-26
- [3] M. Leijon, L. Gertmar, "Breaking Conventions in Electric Power Plants", CIGRE, 1998, Paper 11:1.1
- [4] S. J. Salon, Finite Element Analysis of Electrical machines, Kluwer Academic Publishers, 1995
- [5] Flux2D User's Guide, Version 7.4, Magsoft Corporation, Troy, NY 2000
- [6] John H. Kuhlmann, Design of Electrical Apparatus, John Wiley & Sons, Inc, 3rd Edition, 1959